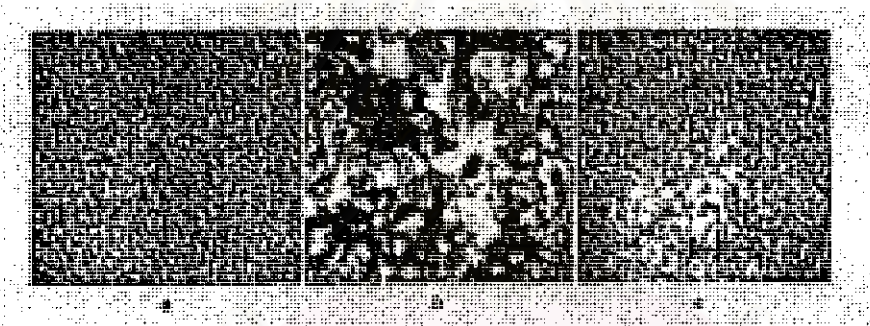


ทฤษฎีพื้นฐานและแนวความคิดที่เกี่ยวข้อง

**2.1 ทฤษฎีและความสำคัญของกระบวนการฉีดอะลูมิเนียมแบบไดแคสติง**

ในกระบวนการฉีดอะลูมิเนียมแบบไดแคสติงนั้น เป็นการผลิตที่ทำให้ชิ้นงานมีความแข็งแรงสูงเนื่องจากผลที่ได้จากการเย็นตัวอย่างรวดเร็วจะทำให้ขนาดเกรนมีขนาดเล็ก โดยเฉลี่ยขนาดของเกรนที่ได้จากการฉีดอะลูมิเนียมแบบไดแคสติงนั้นจะอยู่ประมาณ 0.01 มิลลิเมตร เล็กกว่าแบบหล่อถาวร (ประมาณ 0.5-1.0 มิลลิเมตร) และหล่อแบบทราย (ประมาณ 1.0 มิลลิเมตรขึ้นไป) ดังแสดงในรูปที่ 2.1 ดังนั้นการฉีดอะลูมิเนียมแบบไดแคสติงนั้นจะให้ความแข็งแรงมากกว่า และยังไม่ต้องการการปรับปรุงเพื่อลดขนาดเกรน (grain refining) ซึ่งต้องใช้ในการหล่อแบบอื่นๆ (Alan Kaye และ Arther Street, 1983: 10)



รูปที่ 2.1 รูปแสดงขนาดเกรนของอะลูมิเนียมที่ผ่านกรรมวิธีการหล่อต่างๆ a. ไดแคสติง b. แบบหล่อทราย c. แบบหล่อถาวร โดยใช้อะลูมิเนียมเกรดเดียวกัน (H.H.Dochler, 1951: 217)

เมื่อเปรียบเทียบกับการหล่อแบบอื่นๆ กระบวนการฉีดอะลูมิเนียมแบบไดแคสติงมีข้อได้เปรียบและเสียเปรียบดังนี้ (American Foundrymen's Society [AFS], 1993: 147)

**ข้อได้เปรียบของกระบวนการฉีดอะลูมิเนียมแบบไดแคสติง**

1. ขนาดและมิติมีความแม่นยำมาก โดยเฉพาะรูหรือโพรง
2. ผิวชิ้นงานมีคุณภาพดีมาก
3. หล่อชิ้นงานบางๆ ได้ (ประมาณ 0.635 มิลลิเมตร) ซึ่งการหล่อโดยทั่วไปทำได้ต่ำที่สุดประมาณ 1.27 มิลลิเมตร
4. การสูญเสียอะลูมิเนียมมีน้อยมาก เพราะทางเข้า ทางวิ่งและเศษต่างๆ สามารถนำกลับมาใช้ใหม่ได้โดยมีความสูญเสียน้อยมาก

5. คุณสมบัติทางกลต่างๆมีสูง โดยเฉพาะความต้านทานการล้ามากกว่าการหล่อแบบอื่น มากจึงเหมาะกับงานโครงสร้างต่างๆ

6. สามารถหล่อรูปร่างซับซ้อนทั้งภายนอกและภายในได้ดี แม้ภายในจะจำกัด

**ข้อเสียเปรียบของกระบวนการฉีดอะลูมิเนียมแบบไดแคสติง**

1. อากาศและก๊าซมักจะหนีออกไม่ทันทำให้มีรูพรุนอยู่ภายในชิ้นงาน (สามารถใช้ทางหนี อากาศ (vent) ช่วยแก้ไขได้)

2. เครื่องมือเครื่องใช้ราคาแพง

3. แกนต้องใช้แกนตรงเนื่องจากต้องดึงเข้าคังออก

4. เวลาปรับตั้งครั้งแรกใช้เวลานาน

**2.2 องค์ประกอบและคุณสมบัติของอะลูมิเนียม-ซิลิกอนอัลลอย**

อะลูมิเนียม-ซิลิกอนอัลลอย เป็นอัลลอยที่ใช้มากที่สุดในงานฉีดอะลูมิเนียมเนื่องจากมี คุณสมบัติ ในการหล่อดีเยี่ยมใกล้เคียงกับ ความสามารถที่ต้องการในการหล่อแบบฉีดมากที่สุดดังนี้

1. มีการไหล(Fluidity) ที่ดี
2. มีการหดตัว(Shrinkage) น้อย
3. การแตกขณะร้อน(Hot Shortness) น้อย
4. ไม่ติดกับผิวของแม่พิมพ์ง่าย

อัลลอยที่นิยมแสดงดังตารางที่ 2.1

สถาบันวิทยบริการ  
จุฬาลงกรณ์มหาวิทยาลัย

ตารางที่ 2.1 ตารางแสดงอัลลอยที่นิยมใช้ในงานฉีดอะลูมิเนียมและส่วนผสม

อัลลอย	ส่วนผสม					
	Si	Cu	Mg	Fe	Zn	อื่นๆ
380	8.50	3.50	<0.10	<1.30	<3.00	
383	10.00	2.50	0.10	1.30	3.00	0.15 Sn
384	11.00	2.00	<0.30	<1.30	<3.00	0.35 Sn
390	17.00	4.50	0.55	<1.30	<0.100	<0.10 Mg
413	12.00	<0.10	<0.10	<0.20	-	

ซึ่งอัลลอยที่ได้รับความนิยมสูงเนื่องจากมีคุณสมบัติใกล้เคียงกับที่กล่าวมาแล้วได้แก่ อัลลอย 380 ตามมาตรฐาน ASTM ซึ่งเทียบได้กับมาตรฐานอื่นๆดังตารางที่ 2.2

ตารางที่ 2.2 ตารางแสดงอัลลอย 380 และส่วนผสมเทียบกับมาตรฐานอื่นๆ(Alan Kaye และ Arther Street, 1983:29)

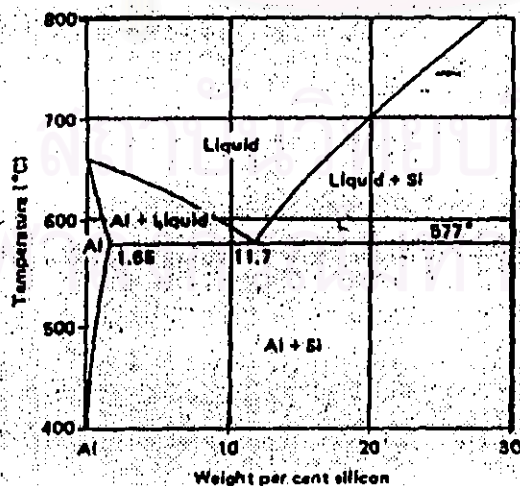
ประเทศ	มาตรฐาน	ชื่อ	Cu	Si	Fe	Zn	Mn
International	ISO DIS 3522	AlSi8Cu3Fe	2.5-4.0	7.5-9.5	1.3	1.2	0.6
Belgium	NBN436	DG AlSi8Cu3Fe	2.5-4.5	7.0-9.5	1.3	1.0	0.6
Canada	IIA3	SC 84N	3.0-4.0	7.5-9.5	0.6	0.1	0.1
		SC 84R	3.0-4.0	7.5-9.5	1.2	1.2	0.5
Denmark	DS3002	4254	2.0-4.0	7.5-10.0	1.1	3.0	0.5
Finland	SFS568	G-AlSi9Cu3Fe	2.0-4.0	7.5-10.0	1.25	1.2	0.5
France	NF A57-703	A-S9U3A-Y4	2.5-4.0	7.5-10.0	1.3	1.2	0.5
W.Germany	DIN1725/2	G-AlSi8Cu3(226)	2.0-3.5	7.5-9.5	0.8	1.2	0.5
		GD-AlSi8.5Cu3(226D)	2.0-3.5	7.5-9.5	1.3	1.2	0.5
Italy	UNI3601	G-AlSi8.5Cu	3.0-4.0	7.5-7.9	0.8	0.05	0.5
	UNI5075	GDAISi8.5Cu3.5Fe	3.0-4.0	8.0-9.5	1.1	1.0	0.5
Japan	JIS H5302	ADC10	2.0-4.0	7.5-9.5	1.3	1.0	0.5
		ADC12	1.5-3.5	10.5-12.0	1.3	1.0	0.5
Netherlands	NEN6022	AlSi8Cu3	2.5-4.5	7.0-9.5	0.7	1.0	0.6
Norway	NS17530	AlSi9Cu3	2.0-4.0	7.5-10.0	1.0	1.3	0.5

ตารางที่ 2.2(ต่อ)

ประเทศ	มาตรฐาน	ชื่อ	Cu	Si	Fe	Zn	Mn
Spain	UNE38-203-76	L2630	2.5-4.0	7.5-10.0	1.0	3.0	0.5
Sweden	SIS144252	4252	2.0-4.0	7.5-10.0	1.1	1.2	0.5
Switzerland	VSM10895	G-AlSi8Cu3	2.0-3.5	7.5-9.5	1.3	1.2	0.5
UK	BS1490	LM24	3.0-4.0	7.5-9.5	1.3	3.0	0.5
USA	ASTM B179-80	A380	3.0-4.0	7.5-9.5	2.0	3.0	0.5

ซึ่งอัลลอย ADC12 นี้มีปริมาณการใช้ในประเทศญี่ปุ่นสำหรับงานฉีดอะลูมิเนียมมากที่สุด เนื่องจากมีปริมาณซิลิกอนอยู่ที่เขตคติก (ประมาณ 12%) ทำให้มีความสามารถในการเย็นตัวได้อย่างทันทีทันใดและมีจุดหลอมเหลวต่ำกว่าอะลูมิเนียมบริสุทธิ์ประมาณ 100 องศาเซลเซียส ทำให้อายุของแม่พิมพ์นานขึ้น มีคุณสมบัติความสามารถในการไหลที่ดี ช่วงการแข็งตัวแคบทำให้เกิดการตึกขาดเมื่อร้อน (Hot Tear) ได้ยาก และการเกิดรูพรุนขึ้นภายในจะมีโอกาสเกิดได้น้อยกว่าอัลลอยที่มีช่วงการแข็งตัวกว้าง

จากแผนภาพสมดุลของอะลูมิเนียม-ซิลิกอนอัลลอยด์รูปที่ 2.2 แสดงให้เห็นว่าที่จุดยูเทคติก ซิลิกอนสามารถละลายได้ 11.7% แต่สามารถเปลี่ยนแปลงอยู่ในช่วง 11.7-12.7% ขึ้นอยู่กับอัตราการเย็นตัว ในการใช้อะลูมิเนียม-ซิลิกอนอัลลอยด์โดยใช้ส่วนผสมซิลิกอนที่เขตคติกนั้น อัตราการเย็นตัวมีผลต่อความแข็งแรงมาก ถ้าอัตราการเย็นตัวช้าจะทำให้ซิลิกอนแยกตัวออกมาอยู่ในรูปเกล็ดหยาบ (Coarse flake) ขึ้นในเมตริกซ์ของอะลูมิเนียม โดยเกิดขึ้นขณะฉีดน้ำอะลูมิเนียมเข้าแม่พิมพ์ จะทำให้อัลลอยนั้นมีความแข็งแรงและความเหนียวต่ำ ถ้าซิลิกอนที่แยกออกมามีขนาดใหญ่จะให้การกึ่งบริเวณนั้นยากขึ้นด้วย



รูปที่ 2.2 รูปแสดงแผนภาพสมดุลของอะลูมิเนียม-ซิลิกอน อัลลอย

(Alan Kaye และ Arthur Street, 1983:24)

### 2.3 ลักษณะโครงสร้างของอะลูมิเนียม-ซิลิกอนอัลลอย

ในสภาพการเย็นตัวตามปกติในแบบหล่อทราย โดยไม่ได้ทำการปรุง (Modification) แบ่งการศึกษาออกเป็น 3 ลักษณะคือ

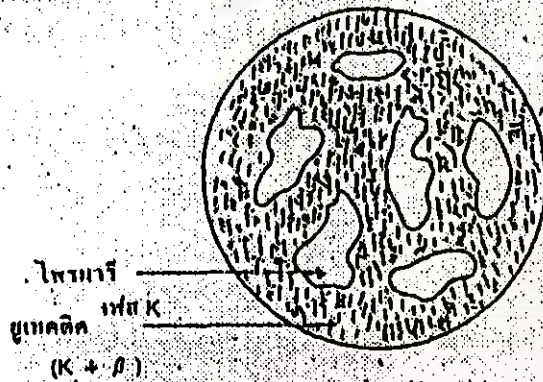
ก. โลหะผสมประเภทไฮโปยูเทคติก (ซิลิกอนต่ำกว่า 11.6%) ซึ่งแบ่งออกเป็น 2 ลักษณะ

ก.1 โลหะผสมที่มีซิลิกอนต่ำกว่า 1.65% โครงสร้างจะประกอบด้วยเฟส K หรือ  $\alpha$  เพียงเฟสเดียว เป็นลักษณะของโลหะผสมที่อยู่ในกลุ่มขึ้นรูปเย็น (Wrought)

ก.2 โลหะผสมที่มีซิลิกอนสูงกว่า 1.65% แต่ไม่เกิน 11.6% โครงสร้างจะประกอบด้วยเฟส K โดยมีโครงสร้างยูเทคติก ( $K+\beta$ ) อยู่รอบบริเวณขอบเกรน

ข. โลหะผสมยูเทคติก (11.6%ซิลิกอน)

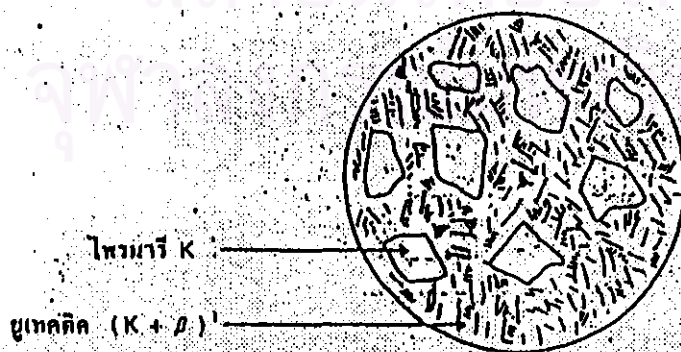
โครงสร้างประกอบด้วย ผลิตภัณฑ์เล็กของเฟส K กับเฟส  $\beta$  ซึ่งมีลักษณะเป็นรูปแท่งหรือรูปเข็ม แทรกสลับกันอยู่ในเฟส K ดังรูปที่ 2.3



รูปที่ 2.3 รูปแสดงโครงสร้างยูเทคติก

ค. โลหะผสมไฮเปอร์ยูเทคติก (มากกว่า 11.6%ซิลิกอน)

โครงสร้างประกอบด้วยเฟส  $\beta$  เป็นลักษณะรูปหลายเหลี่ยม กระจัดกระจาย โดยมีโครงสร้างยูเทคติก( $K+\beta$ ) ล้อมรอบดังรูปที่ 2.4

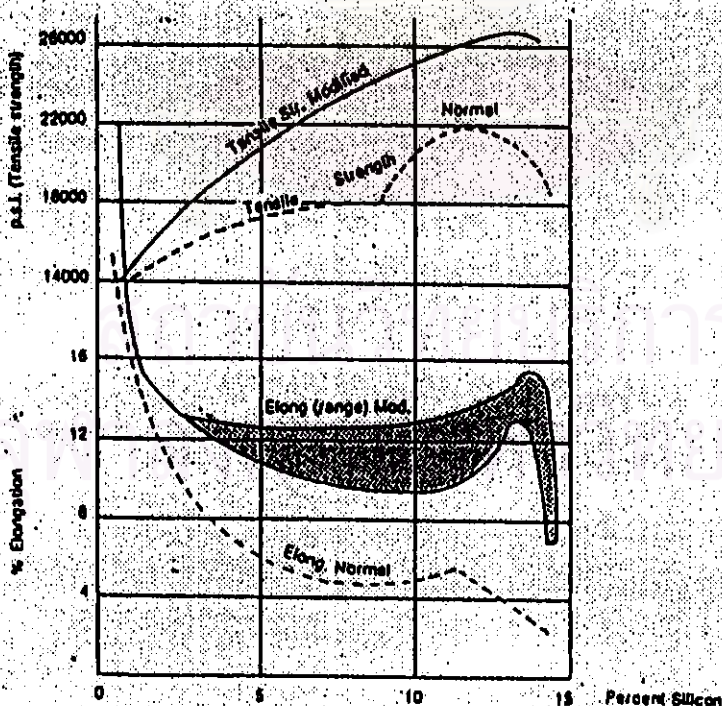


รูปที่ 2.4 รูปแสดงโครงสร้างของไฮเปอร์ยูเทคติก

โครงสร้างภายหลังจากทำการปรุ้ง(Modification) จะปรากฏจุดยูเทคติกต่ำลง และเคลื่อนไปอยู่ที่ 14%ซิลิกอน โครงสร้างของโลหะผสมประเภทไฮโปยูเทคติก ไม่ค่อยจะเกิดการเปลี่ยนแปลง เพียงแต่ลักษณะของเกรนจะเล็กละเอียดเพราะเกิดปฏิกิริยายูเทคติก ที่ให้เฟส K และ  $\beta$  พร้อมกันเกิดที่อุณหภูมิต่ำลง (564 °c) และมีเฟส K ชนิดไพรมารีมีปริมาณน้อยลง

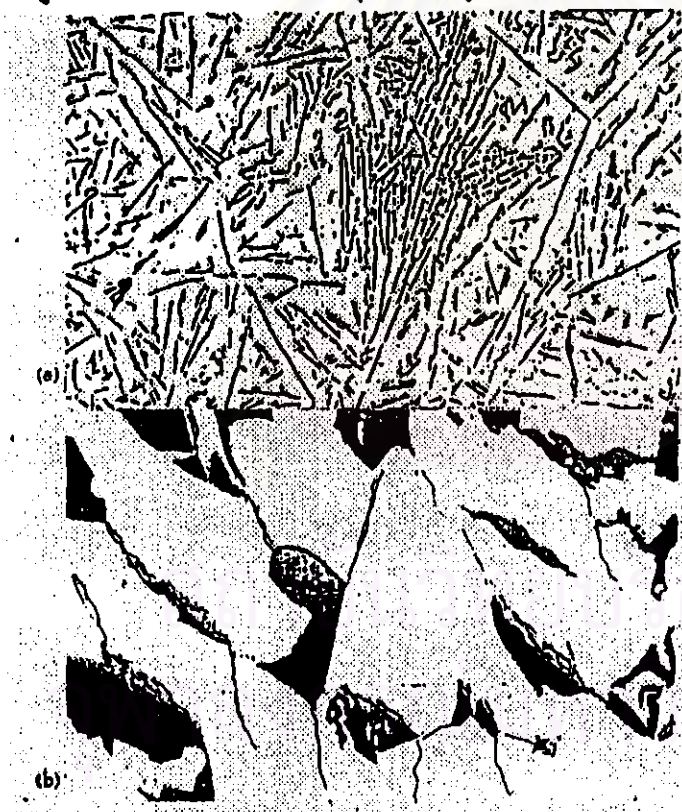
โครงสร้างของโลหะผสมยูเทคติก (11.6%ซิลิกอน) เมื่อจุดยูเทคติกเปลี่ยนไปอยู่ที่ 14%ซิลิกอน ภายหลังจากทำการปรุ้ง จึงให้โครงสร้างใหม่มีลักษณะเป็นโลหะผสมไฮโปยูเทคติกคือ มีเฟส K ขนาดเล็กเกิดขึ้น และมีโครงสร้างยูเทคติกที่ประกอบด้วยเฟส K และเฟส  $\beta$  ขนาดเล็กเกิดขึ้น ล้อมรอบเฟส K ที่เป็นไพรมารี มีผลทำให้โลหะผสมภายหลังจากทำการปรุ้งมีทั้งความแข็งแรงและความเหนียวเพิ่มขึ้น

โครงสร้างของโลหะผสมไฮเปอร์ยูเทคติก (มากกว่า 11.6%ซิลิกอน) ในที่นี้ถ้าพิจารณาโลหะผสมที่14%ซิลิกอน ภายหลังจากเมื่อทำการปรุ้งจะทำให้โลหะผสมนี้กลายเป็นโลหะผสมยูเทคติก ซึ่งจะได้โครงสร้างภายหลังเช่นตัวเป็นลักษณะโครงสร้างยูเทคติก (K+ $\beta$ ) ที่มีขนาดเล็กละเอียดเป็นการปรับปรุงคุณสมบัติเชิงกลของโลหะผสมที่ให้ผลสูงมาก ทั้งความแข็งแรงและความเหนียวดังรูปที่ 2.5 แสดงผลเปรียบเทียบระหว่างความแข็งแรงทางดึง (tensile strength) กับ เปอร์เซ็นต์การยืดตัว (%elongation) ของอะลูมิเนียม-ซิลิกอนอัลลอยที่เปอร์เซ็นต์ของซิลิกอนต่างๆกัน ระหว่างการขึ้นตัวปกติในแบบทรายกับสภาพการขึ้นตัวโดยผ่านการปรุ้งด้วยโลหะโซเดียม



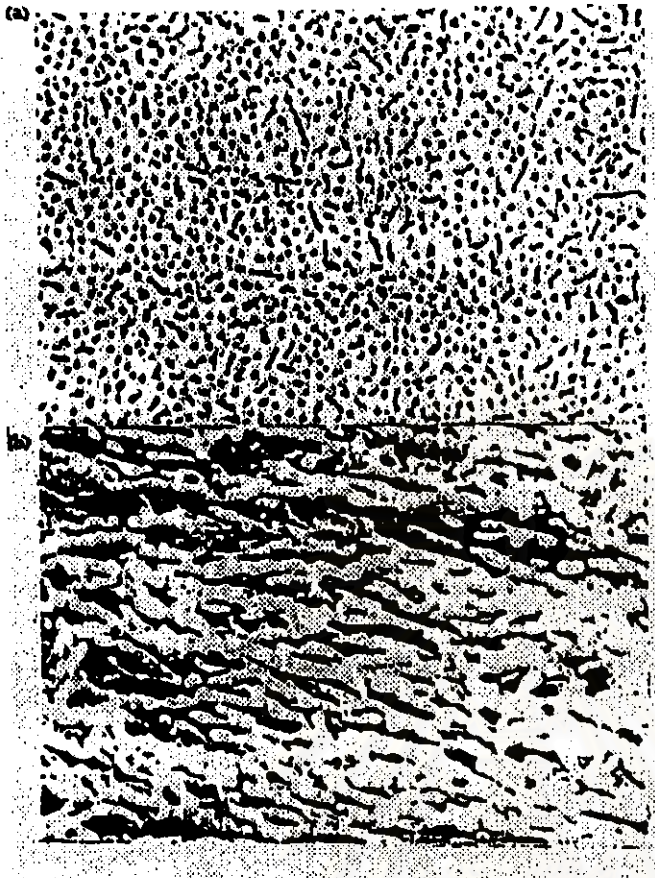
รูปที่ 2.5 รูปแสดงคุณสมบัติต่างๆของอะลูมิเนียม-ซิลิกอนเปรียบเทียบระหว่างแบบไม่ปรุ้งและแบบที่ปรุ้งด้วยโลหะโซเดียม

ในการแบบหล่อถาวรและการหล่อแบบทราย การปรุงอะลูมิเนียม-ซิลิกอนอัลลอย นั้นต้องการส่วนผสมที่เหมาะสมเพื่อช่วยให้เกรนมีขนาดเล็กลงและเปลี่ยนซิลิกอนที่เป็นเกล็ดหยาบ (Coarse flake) ให้อยู่ในรูปเส้น (Fibrous) หรือรูปแท่ง (Rod) ทำให้มีความแข็งแรงเพิ่มขึ้นมากดังที่ได้กล่าวมาแล้ว โดยใช้โซเดียมประมาณ 0.05% จากการศึกษาและรวบรวมโดย C.B. Kim และ R.W. Heine (1963:367) จากมหาวิทยาลัยวิสคอนซิน พบว่า อัตราการเย็นตัวอย่างรวดเร็วของอะลูมิเนียม-ซิลิกอนอัลลอย จะมีผลใกล้เคียงกับการเติมโซเดียม โดยซิลิกอนนั้นจะก่อตัวอยู่ในรูปแท่ง อีกทั้ง M.G. Day และ A. Hellawell (1967:377) ได้ศึกษา ระดับจุลภาคและการเกิดผลึกของอะลูมิเนียม-ซิลิกอน อัลลอย ที่อุณหภูมิต่ำในเรื่อง ส่วนผสม ระยะการแข็งตัวและอุณหภูมิ ทำการเปรียบเทียบการเย็นตัวอย่างช้าๆและการเย็นตัวอย่างรวดเร็วจะทำให้ซิลิกอนก่อตัวและเติบโตขึ้นที่อุณหภูมิต่ำลง ทำให้เกิดอยู่ในรูปแท่ง (Rod form) ซึ่งมีความแข็งแรงมากกว่ารูปเกล็ดหยาบ และเป็นการยืนยันว่า การเย็นตัวอย่างรวดเร็วให้ผลเหมือนกับการปรุงด้วยโซเดียมในการหล่อแบบทราย ดังรูปที่ 2.6a, 2.6b แสดงถึงอะลูมิเนียม-ซิลิกอนอัลลอยที่ยังไม่ได้ปรุงเปรียบเทียบกับอะลูมิเนียม-ซิลิกอนอัลลอยที่ปรุงแล้วในรูปที่ 2.7a, 2.7b



รูป 2.6a รูปแสดงระดับจุลภาคของอะลูมิเนียม-ซิลิกอนอัลลอยยังไม่ได้ปรุงที่ซิลิกอน 12.7% โดยเย็นตัวอย่างช้าๆ (x120) รูปที่ 2.6b รูปแสดงเกล็ดซิลิกอนในอะลูมิเนียม-ซิลิกอนอัลลอย (ชิ้นงานผ่านการกัดกรดเล็กน้อยและถ่ายโดยกล้องจุลทรรศน์อิเล็กตรอน (x1000))

(Alan Kaye และ Arther Street, 1983:25)



รูป 2.7a รูปแสดงระดับจุลภาคของอะลูมิเนียม-ซิริโคนอ็อกไซด์ที่ซิริโคน 12.7%(x120)รูปที่ 2.7b รูปแสดงซิริโคนรูปแท่งในอะลูมิเนียม-ซิริโคนอ็อกไซด์ (ชิ้นงานผ่านการกัดกรดลึกและถ่ายโดยกล้องจุลทรรศน์อิเล็กตรอน(x500)) (Alan Kaye และ Arther Street, 1983:26)

ในส่วนผสมของอะลูมิเนียม-ซิริโคน อักทอยกลุ่ม ADC12 ยังมีส่วนผสมของเหล็กอยู่ประมาณ 1.3% ด้วย จากการศึกษาของ B.A. Gillett และ K.G. Latimer (1970:955) พบว่า ถ้ามีเหล็กผสมอยู่ประมาณ 1.3% จะช่วยให้การหลอมดีของน้ำอะลูมิเนียมกับหน้าแม่พิมพ์น้อยลง ถึงแม้จะมีการพ่นน้ำหล่อเย็นหน้าแม่พิมพ์อยู่แล้วก็ไม่เพียงพอ เนื่องจากบริเวณตรงข้ามทางเข้าจะได้รับผลกระทบจากการหมุนวนของน้ำอะลูมิเนียมทำให้บริเวณนี้มีความร้อนสูงเกิดการหลอมดีได้ง่าย ถ้าในน้ำอะลูมิเนียมมีเหล็กผสมอยู่ 1.3% จะช่วยลดการหลอมดีจากสาเหตุนี้ได้ แต่อย่างไรก็ตาม ไม่ควรมีเหล็กผสมอยู่มากกว่านี้ เพราะจะเกิด  $\alpha\text{-AlFeSi}$  ขึ้นทำให้เกิดเป็นจุดแข็ง (hard spot) และมีความแข็งแรงทางดึงลดลงด้วย อีกทั้งจากการรายงานของ C.A. Quener และ W.L. Mitchell (1965:70) ได้ทำการทดลองถึง เจาะ อักทอย 380 ตามมาตรฐานอเมริกัน โดยใช้ชิ้นงาน 1 1/2 กิโลกรัม จำนวน 105 ชิ้น ในการทำงาน 38 วินาที พบว่า ถ้าลดปริมาณเหล็กในส่วนผสมลงจาก 1.4% เป็น 0.7% จะช่วยให้อายุของเครื่องมือตัดยาวนานขึ้น



## 2.4 ทฤษฎีการไล่ก๊าซไฮโดรเจนในอะลูมิเนียมเหลว

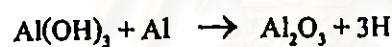
ก๊าซไฮโดรเจนเป็นตัวการสำคัญที่ทำให้เกิดรูพรุนในอะลูมิเนียมหล่อเป็นข้อบกพร่องที่สำคัญที่ทำให้คุณภาพของงานลดลง ในงานสำคัญๆที่ต้องการความแข็งแรงสูงหรือต้องไม่มีการรั่วซึม คุณภาพของงานหล่อจะต้องมีคุณสมบัติสม่ำเสมอ ดังนั้นเทคนิคการไล่ก๊าซไฮโดรเจนที่มีประสิทธิภาพจึงเป็นที่จำเป็นอย่างมาก

### 2.4.1 การเกิดก๊าซไฮโดรเจน

ในการหลอมอะลูมิเนียมนั้น ก๊าซไฮโดรเจนจะเข้าไปละลายในอะลูมิเนียมเหลวและยากที่จะป้องกันเนื่องจากไฮโดรเจนมีที่มาได้หลายทาง

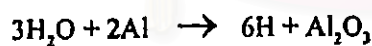
1. ความชื้นในบรรยากาศ
2. ผลกระทบจากการเผาไหม้ของก๊าซหรือเชื้อเพลิงขณะทำการหลอม
3. วัสดุบรรจุเตา (Charge Material) ที่เปียกชื้น
4. ออกไซด์ที่ผิวของอะลูมิเนียม และผลเนื่องจากปฏิกิริยาที่เกิดขึ้น จากการสุกก่อน

อันเนื่องมาจากน้ำ (Hydrated Corrosion Product)



5. ความชื้นจากอิฐทนไฟภายในเตา ความตกรกของเครื่องมือหล่อ
6. ความชื้นจากฟลักซ์
7. น้ำและน้ำมันที่เป็นอนุพันธ์และวัสดุบรรจุเตา

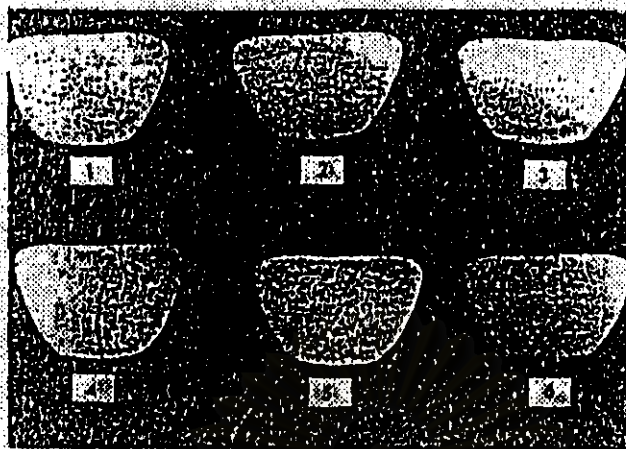
ซึ่งไฮโดรเจนเกิดขึ้นได้ดังสมการ



เห็นได้ว่าก๊าซไฮโดรเจนในสมการนั้นอยู่ในสภาพของอะตอมไม่โซโมเลกุล ซึ่งการไล่ก๊าซไฮโดรเจนออกจากอะลูมิเนียมเหลวจะใช้หลักการนี้ต่อไป

### 2.4.2 ผลของก๊าซไฮโดรเจน

ก๊าซไฮโดรเจนที่ละลายอยู่ในอะลูมิเนียมเหลว แต่ไม่สามารถออกทันก่อนที่อะลูมิเนียมจะแข็งตัว จะเป็นตัวการทำให้เกิดรูพรุนในเนื้ออะลูมิเนียม ซึ่งรูพรุนนี้มีขนาดเล็กมากและกระจายอยู่ทั่วในอะลูมิเนียม หรือบริเวณที่แข็งตัวที่สุด รูพรุนที่มีขนาดเล็กมากๆจะไม่เป็นอันตราย แต่รูพรุนที่มีขนาดใหญ่อาจเห็นเป็นรูหรือรอยร้าวจะมีผลทำให้คุณสมบัติทางกลลดลง ดังรูปที่ 2.8



Sample No.	Hydrogen concentration by lelegas (ml/100 gm Al)	Density (gm/cm <sup>3</sup> )
1	0.23	2.486
2	0.16	2.550
3	0.13	2.584
4	0.10	2.609
5	0.09	2.619
6	0.07	2.636

รูปที่ 2.8 รูปแสดงภาคตัดแสดงการแข็งตัวของอะลูมิเนียมที่มีปริมาณก๊าซไฮโดรเจนต่างๆ

(M.H.Mulazimogiv, N.Handiak และ J.E. Gruzleski, 1989:228)

#### 2.4.3 การละลายของก๊าซไฮโดรเจนในอะลูมิเนียมเหลว

อะลูมิเนียมเป็นโลหะที่ไวต่อการละลายของก๊าซมากและก๊าซไฮโดรเจนเป็นก๊าซเพียงชนิดเดียวที่มีความสามารถละลายได้ในอะลูมิเนียมเหลวได้ดีที่สุด เนื่องจากแรงยึดเหนี่ยวของอะตอมระหว่างอะลูมิเนียมกับก๊าซไฮโดรเจนมีค่ามากกว่าอะลูมิเนียมกับก๊าซออกซิเจนและก๊าซออกซิเจนจะทำปฏิกิริยากับอะลูมิเนียมเป็นอะลูมิเนียมออกไซด์

การละลายของไฮโดรเจนในอะลูมิเนียมเหลวสามารถละลายได้ในอุณหภูมิต่างๆดังตารางที่ 2.3

ตารางที่ 2.3 ตารางแสดงความสามารถในการละลายของไฮโดรเจน

(John E. Gruzleski และ Bernard M. Clossel, 1990:146)

อัลลอยด์	ความสามารถในการละลายของก๊าซไฮโดรเจน
Al-2%Cu	$\log_{10}S = -2950/T + 2.90$
Al-4%Cu	$\log_{10}S = -3050/T + 2.94$
Al-8%Cu	$\log_{10}S = -3150/T + 2.94$
Al-16%Cu	$\log_{10}S = -3150/T + 2.83$
Al-32%Cu	$\log_{10}S = -2950/T + 2.57$
Al-2%Si	$\log_{10}S = -2800/T + 2.79$
Al-4%Si	$\log_{10}S = -2950/T + 2.91$
Al-8%Si	$\log_{10}S = -3050/T + 2.95$
Al-16%Si	$\log_{10}S = -3150/T + 3.00$

โดย S คือ ค่าความสามารถในการละลายของไฮโดรเจน (Hydrogen Solubility)

หน่วยเป็น มิลลิลิตรต่อ 100 กรัมอะลูมิเนียม

T คือ อุณหภูมิ หน่วยเป็นองศาเซลเซียส

ค่าความสามารถในการละลายของไฮโดรเจนคือ ปริมาณไฮโดรเจนในส่วนที่อุณหภูมิและความดันมาตรฐาน ต่อ 100 กรัมอะลูมิเนียม

#### 2.4.4 การป้องกันและลดก๊าซไฮโดรเจน

##### 2.4.4.1 การป้องกันก๊าซไฮโดรเจน

###### 2.4.4.1.1 การป้องกันก๊าซไฮโดรเจนจากวัสดุบรรจุเตาและเครื่องมือ

นำพวกอะลูมิเนียมที่จะทำการหลอม เช่น แท่งอะลูมิเนียม รูดี้น รุเท ทำการเผา (Preheat) ก่อนเข้าเตา เพื่อให้ น้ำ และ น้ำมัน ออกไป และทำการเผาเตาและเผาเครื่องมือทุกอย่างก่อนใช้

###### 2.4.4.1.2 การป้องกันก๊าซไฮโดรเจนจากบรรยากาศ

เมื่ออะลูมิเนียมหลอมเหลวแล้ว ใช้ฟลักซ์คลุมผิวหน้าอะลูมิเนียมเหลวไว้มิให้เกิดการละลายของก๊าซไฮโดรเจน ฟลักซ์จำพวกนี้ได้แก่ เกลืออัลคาไลน์ (NaCl, KCl) ที่แห้งสนิท

#### 2.4.4.2 การลดก๊าซแบบธรรมชาติ

ระดับของก๊าซจะลดลงหากการหลอมนั้นเป็นการหลอมแบบอิ่มตัวยิ่งยวด (Supersaturate) การลดก๊าซแบบธรรมชาตินี้จะเกิดขึ้นอย่างช้าๆ โดยปกติจะใช้เวลา 2-3 ชั่วโมงในการลดก๊าซด้วยวิธีนี้ ซึ่งช้ามากในทางปฏิบัติ ดังนั้นจึงไม่มีใครใช้ การลดก๊าซแบบธรรมชาติจะไม่สามารถเกิดได้ทุกกรณี สภาพที่เกิดการหลอมแบบอิ่มตัวยิ่งยวดนั้นจะเกิดในกรณีพิเศษเท่านั้น คือ ถ้าอุณหภูมิในการหลอมถูกทำให้ต่ำลงเพียงพอที่จะทำให้เกิดการอิ่มตัวอย่างยิ่งยวด หรือก๊าซไฮโดรเจนถูกเพิ่มเข้าไปในปริมาณมาก เช่น การใช้ฟลักซ์เปียก การลดก๊าซแบบธรรมชาติจะทำได้ดีในอุณหภูมิต่ำ มีบรรยากาศที่แห้งในการหลอมและใช้เวลาดูแลหลายๆ ชั่วโมง

#### 2.4.4.3 การลดก๊าซไฮโดรเจนโดยอาศัยก๊าซเฉื่อยพาออกมา

หลักการดึงเอาก๊าซไฮโดรเจนออกมา คือสภาวะการละลายของไฮโดรเจนในอะลูมิเนียมจะเป็นอะคอมไมโซไมเทกุต G.K. Sigworth(1987:73) ได้ศึกษาไว้ว่าก๊าซไฮโดรเจนจะถูกกลดเป็นลำดับขั้นดังนี้

- ก๊าซไฮโดรเจนที่อยู่ในอะลูมิเนียมเหลวในสภาพของอะคอมจะรวมตัวกับฟองของก๊าซเฉื่อยโดยการพา (Convection) และการแพร่ (Diffusion)

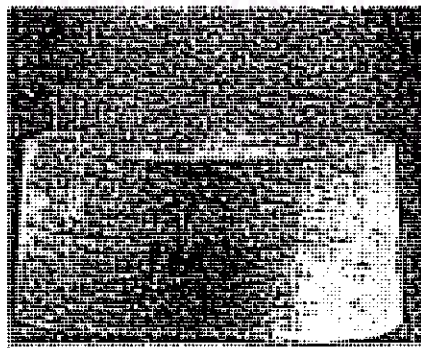
- ก๊าซไฮโดรเจนที่แพร่เข้าไปนั้นจะประกอบเป็นชั้นบางๆ เรียกว่า Boundary Layer อยู่รอบฟองก๊าซเฉื่อย (Bubble)

- ก๊าซไฮโดรเจนจะแพร่เข้าไปภายในฟองของก๊าซเฉื่อย

- เมื่อรวมกันแล้วก็จะลอยตัวออกจากผิวอะลูมิเนียมเหลว หรือตามรูของผนังเตา การนำเอาก๊าซเฉื่อยเป็นตัวพาที่นำก๊าซไฮโดรเจนออกจากอะลูมิเนียมเหลวนั้นมี 2 วิธีคือ

ก. การปล่อยก๊าซเฉื่อยผ่านแท่งเซรามิกที่มีรูพรุน (Porous Plug)

ซึ่งรูพรุนเหล่านี้จะช่วยให้อากาศออกเป็นฟองเล็กๆ แต่ฟองที่เกิดขึ้นจะมีแนวโน้มที่จะลอยสู่ผิวของอะลูมิเนียมเหลวมากกว่าที่จะกระจายทั่วเตา ดังรูปที่ 2.9 จึงเกิดการปรับปรุงพัฒนาขึ้นอีกวิธีหนึ่ง



รูปที่ 2.9 รูปแสดงการปล่อยก๊าซเฉื่อยผ่านแท่งเซรามิกที่มีรูพรุน (Porous Plug)

(D.A. Granger, 1986:471)

**ข. การใช้เครื่องไล่ก๊าซไฮโดรเจนแบบใบพัดหมุนโดยใช้ก๊าซเฉื่อย**

( Rotary Impeller Degassing Unit)

วิธีนี้จะใช้ใบพัดกราฟไฟด์ หมุนตัดก๊าซทำให้ได้ก๊าซเฉื่อยที่มีขนาดเล็ก (เส้นผ่าศูนย์กลาง 3-6 มิลลิเมตร) โดยผ่านก๊าซเฉื่อยมาตามท่อแกนกลางของแท่งกราฟไฟด์ ซึ่งที่ปลายของแท่งกราฟไฟด์จะติดใบพัดกราฟไฟด์ ก๊าซเฉื่อยจะถูกใบพัดหมุนเหวี่ยงเป็นฟองขนาดเล็กแล้วถูกส่งออกไปตามแรงเหวี่ยงของการหมุน และแรงหมุนของใบพัดยังช่วยให้ฟองก๊าซเฉื่อยเข้าไปทั่วถึงอะลูมิเนียมเหลวด้วย เป็นผลให้ก๊าซไฮโดรเจนมีโอกาสสัมผัสกับก๊าซเฉื่อยได้มากขึ้น รูปที่ 2.10



รูปที่ 2.10 รูปแสดงการกระจายของฟองก๊าซที่เกิดจากการปล่อยก๊าซเฉื่อยผ่านใบพัดหมุน  
(โฆยิต ฑุกข์อวารี, ตะวันฉาย โพธิ์หอมและทรงพล ทิมปิษฐ์วาลย์, 2537:79)

#### 2.4.4.4 การใช้ก้อนฟลักซ์ (Tablet Flux)

ก้อนฟลักซ์เป็นพวกเฮกซะคลอโรอีเทน (Hexachloroethane,  $C_2Cl_6$ ) ฟลักซ์เหล่านี้เป็นสารที่ขึ้นได้ง่ายดังนั้นต้องเก็บไว้ในที่แห้ง ก้อนฟลักซ์นี้จะทำให้เกิดก๊าซคลอรีนซึ่งจะเป็นตัวพาเอาก๊าซไฮโดรเจนออกไป แต่ก๊าซคลอรีนเป็นก๊าซที่มีพิษ จึงเหมาะสำหรับการหล่อปริมาณไม่มากนัก

### 2.5 ทัศนคติที่เกี่ยวกับการติดอะลูมิเนียมด้วยความร้อนในแม่พิมพ์โลหะ

องค์ประกอบที่สำคัญ 3 อันดับแรกในงานติดประกอบด้วย (H.H. Doehler, 1951:3)

1. เครื่องจักร กลไก ที่ใช้ในการฉีด
2. การออกแบบชิ้นงานและการออกแบบแม่พิมพ์
3. อัตราหล่อที่เหมาะสม

ซึ่งต้องเป็นมาตรฐานเพื่อให้การทำงานถูกต้องหรือใกล้เคียงกันทุกครั้งเมื่อได้องค์ประกอบทั้ง 3 ข้อแล้ว สิ่งที่ต้องพิจารณาคือ ปรากฏการณ์นั่นเอง เนื่องจากเป็นปัจจัยที่มีผลต่อคุณภาพของงานฉีดสูงทั้งควบคุมได้ยาก และไม่สามารถกำหนดได้แน่นอน

ในการปฏิบัติงานฉีดจริง ปัจจัยต่างๆที่ต้องควบคุมของเครื่องจักรจะถูกตั้งไว้แน่นอนแล้ว พร้อมทั้งปัจจัยที่สามารถเกิดได้จากแม่พิมพ์ก็ถูกควบคุมจากแม่พิมพ์ ที่ได้ออกแบบมาแล้ว ซึ่งทำให้ปัจจัยต่างๆอยู่ในช่วงแคบ หรือน่าจะทราบค่าที่แน่นอน แต่ในการปฏิบัติงานจริงๆ ปรากฏการณ์ต่างๆแปรค่าไปได้จนกระทั่งเข้าสู่จุดที่สมดุลที่สุด ที่การฉีดขณะนั้น

#### 2.5.1 ทัศนคติที่ใช้เพื่อพิจารณาการไหลของอะลูมิเนียมในแม่พิมพ์ฉีดมีดังนี้

##### 2.5.1.1 ทัศนคติของ Frommer (H.H. Doehler, 1951:126-129)

Frommer ได้ทำการศึกษาสภาวะการฉีดในงานฉีดสังกะสี โดยทำแม่พิมพ์เป็นรูปทรงสี่เหลี่ยมผืนผ้า ได้พบสิ่งที่เกิดขึ้นดังนี้

น้ำโลหะเข้าไปในแม่พิมพ์โดยผ่านทางเข้า (Gate) พุ่งเข้าไปโดยมีรูปร่างสัมพันธ์กับภาคตัดขวางของทางเข้า แล้วเข้าไปชนด้านตรงข้ามของแม่พิมพ์ เกิดการหมุนวนในตำแหน่งนั้นแล้วค่อยไหลดันไปตามผิวแม่พิมพ์แล้วเต็มแม่พิมพ์ในที่สุด โดยตรงกลางแม่พิมพ์จะเป็นจุดที่แข็งตัวเป็นอันดับสุดท้าย ซึ่งการพุ่งเข้าแม่พิมพ์จะขึ้นกับพลังงานการไหลหรือแรงดันที่ให้กับน้ำโลหะ และแรงเสียดทานที่ผิวแม่พิมพ์กับอัตราการเย็นตัวของน้ำโลหะนั่นเอง น้ำโลหะที่ไหลวนที่ผิวของแม่พิมพ์ก่อนที่จะไหลลงมาเรียกว่า "Forerunners" ซึ่งพฤติกรรมนี้ขึ้นกับความหนาของชิ้นงาน แรงเสียดทานและอัตราการเย็นตัวของผิวแม่พิมพ์ ซึ่งถ้ายังมีขนาดเล็กก็จะมีผลอย่างมากต่อแรงเสียดทาน

และการเข็นคว่ำ ความเร็วของ forerunners จะลดลงตามระยะทางที่ห่างจากจุดที่น้ำไหลทะลุประตู (Pool) ค่าความดันและค่าความเร็วในการฉีดสัมพันธ์กันดังสมการ

$$V = \sqrt{2gP/D}$$

V ความเร็วในการฉีด

g ความเร่งโน้มถ่วง

P ความดันในการฉีด

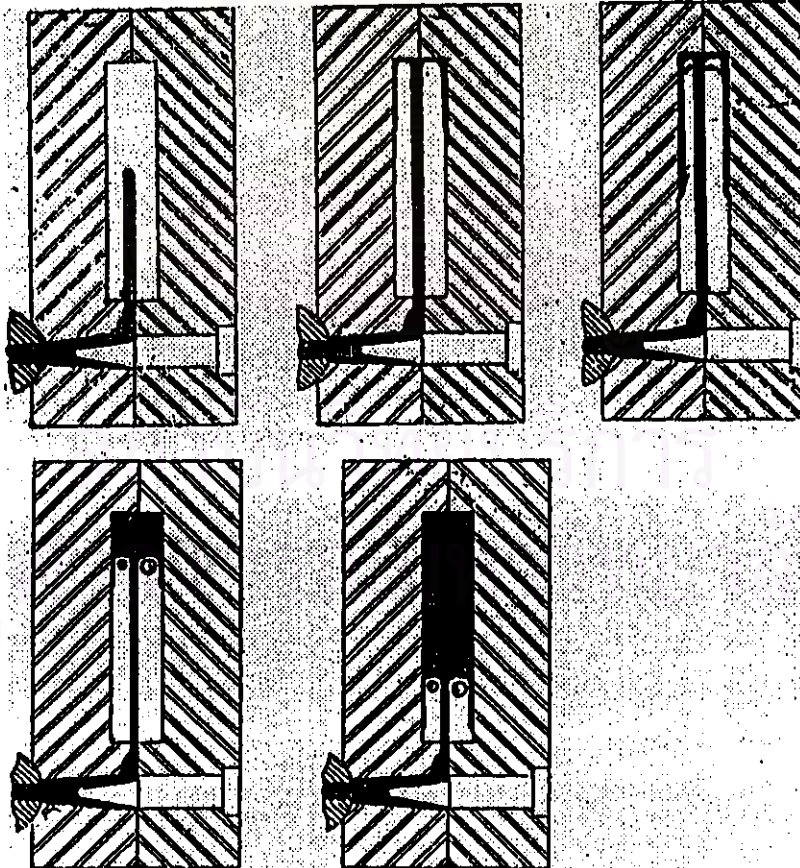
D ค่าความถ่วงจำเพาะของอัลลอย

$$V = \sqrt{P} * 0.87 \text{ สำหรับอะลูมิเนียม}$$

จากผลการทดลองของ Frommer สรุปได้ว่า ทางเข้าที่มีขนาดใหญ่ดีกว่าทางเข้าที่มีขนาดเล็กดังนี้

1. มีอันตรายในการฉีดน้อยกว่า
2. มีการหมุนวนของน้ำโลหะขณะฉีดน้อยกว่า
3. การปั่นป่วนที่จุดเข้าประตู (Pool) น้อยกว่า
4. การรวมตัวกับอากาศน้อยกว่า
5. น้ำโลหะที่ไหลที่ผิวแม่พิมพ์สามารถร้อนอยู่ได้นานกว่า

รูปแสดงการไหลของน้ำโลหะตามทฤษฎีของ Frommer ดังรูปที่ 2.11

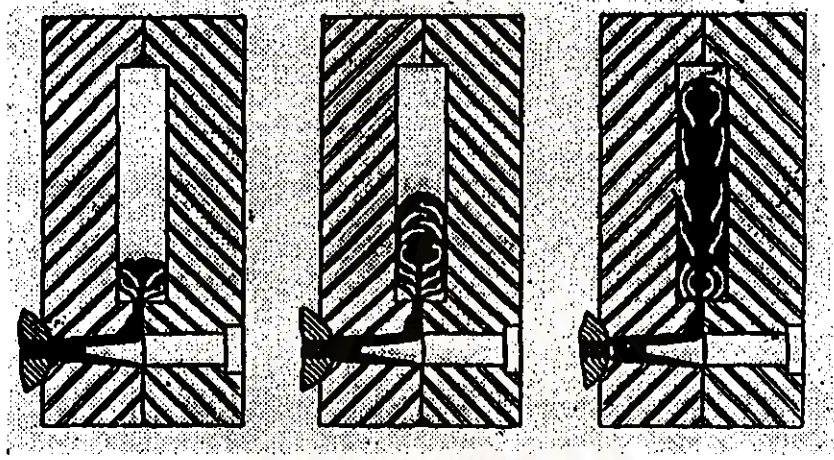


รูปที่ 2.11 รูปแสดงการไหลของน้ำโลหะตามทฤษฎีของ Frommer (H.H. Doehler, 1951:127)

2.5.1.2 ทฤษฎีของ Brandt (H.H. Doehler, 1951:131)

Brandt ได้ทำการศึกษาบนแม่พิมพ์ที่มีลักษณะเหมือนกับของ Frommer แต่ลักษณะการเข้าไปของน้ำโลหะจะไม่พุ่งไปด้านตรงข้ามแต่จะเข้าไปเต็มช่องว่างก่อนแล้วเพิ่มขึ้นเพื่อเติมช่องว่างให้เต็ม ซึ่งตรงข้ามกับทฤษฎีของ Frommer

รูปแสดงการไหลของน้ำโลหะตามทฤษฎีของ Brandt แสดงในรูปที่ 2.12



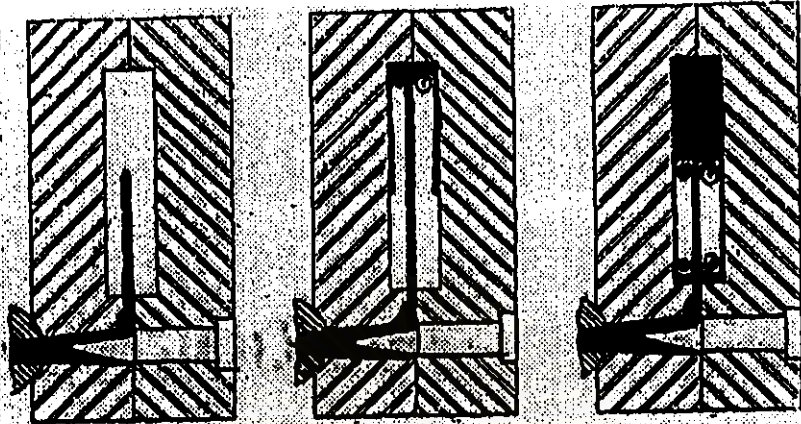
รูปที่ 2.12 รูปแสดงการไหลของน้ำโลหะตามทฤษฎีของ Brandt (H.H. Doehler, 1951:131)

2.5.1.3 ทฤษฎีของ Koester และ Goehring (H.H. Doehler, 1951:132)

ทฤษฎีนี้ได้สนับสนุนทฤษฎีของ Frommer ซึ่ง Koester และ Goehring แห่งสถาบันวิจัยโลหะ เมืองสตุทการ์ท ประเทศเยอรมัน ได้ทำการทดลองโดยใช้แม่พิมพ์ที่เป็นแก้วทนความร้อน รูปทรงสี่เหลี่ยมผืนผ้าอยู่ในโครงโลหะ ทำให้สามารถเห็นการไหลที่เกิดขึ้นภายในได้ โลหะที่ใช้คือ Wood's metal แล้วทำการทดลองเหมือนกับที่ Frommer ทดลองทั้งรูปร่างและการวางตำแหน่งของทางเข้า ซึ่งผลการทดลองที่ได้สนับสนุนทฤษฎีของ Frommer และสามารถมองเห็นได้อย่างชัดเจน พร้อมทั้งสิ่งที่ได้พบเพิ่มเติมคือ เมื่อน้ำโลหะเต็มจนมีปริมาณมากพอทำให้แข็งตัวที่ผิวไม่ทันก็จะไหลตามผิวแม่พิมพ์ลงมาที่ด้านล่างของช่องว่าง อย่างไรก็ตามแรงเสียดทานและการถ่ายเทความร้อนที่ผิวของแก้วกับโลหะไม่เท่ากัน ทำให้พฤติกรรมที่เห็นอาจไม่ถูกต้องนัก และโลหะที่ใช้คือ Wood's metal ซึ่งมีจุดหลอมละลายต่ำกว่าอัลลอยที่ใช้ในการฉีดจริงมาก

รูปแสดงการไหลของน้ำโลหะตามทฤษฎีของ Koester และ Goehring แสดงในรูปที่ 2.13





รูปที่ 2.13 รูปแสดงการไหลของน้ำโลหะตามทฤษฎีของ Koester และ Gochring  
(H.H. Doehler, 1951:132)

### 2.5.2 ข้อบกพร่องที่เกิดขึ้นในงานฉีดอะลูมิเนียมด้วยความดันในแม่พิมพ์โลหะ

การแข็งตัวอย่างรวดเร็วของน้ำโลหะในการกระบวนการฉีดด้วยความดันนี้ทำให้ชิ้นงานมีโครงสร้างที่ละเอียด มีความแข็งแรงสูง ซึ่งก็เป็นเหตุผลที่ทำให้เกิดความเค้นที่แตกต่างกันมากระหว่างผิวและเนื้อภายในชิ้นงานมีผลทำให้เกิดการแตกจากการหดตัว (Shrinkage Crack) และข้อบกพร่องต่างๆที่เกิดขึ้นในงานฉีดด้วยความดันมีดังนี้ (H.H. Doehler, 1951:134-140)

1. รูที่เกิดจากหดตัว (Shrink Hole) เกิดจากการเติมน้ำโลหะเข้าไปไม่พอ เมื่อเกิดการแข็งตัวโลหะจะหดตัวทำให้เนื้อโลหะส่วนที่แข็งตัวที่หลงหายไป สังเกตได้ว่า รูนี้จะขรุขระและไม่มีรูปร่างที่แน่นอน
2. รูที่เกิดจากก๊าซ (Gas Hole) เกิดจากการที่ก๊าซไม่สามารถหนีออกได้ทันก่อนที่น้ำโลหะแข็งตัว สังเกตได้ รูนี้จะมีลักษณะมน กลม และเรียบ
3. อัตราส่วนผสมไม่เท่ากันทำให้เนื้อไม่เข้ากัน (Segregation) เกิดจากส่วนผสมที่ไม่เท่ากันในแต่ละชั้นทำให้ส่วนที่มีอัตราส่วนมากแข็งตัวช้า ส่วนที่มีอัตราส่วนน้อยแข็งตัวเร็วกว่า ทำให้ชิ้นงานที่ได้เหมือนมี 2 ผิว จะเกิดมากถ้าอุณหภูมิและอัตราการฉีดน้ำโลหะต่ำมาก
4. รอยแตกจากการหดตัว (Shrink Crack) เกิดจากความเค้นภายในระหว่างการแข็งตัวมีค่าสูงกว่าความเหนียวและความแข็งแรงของน้ำโลหะที่แข็งตัวจากสถานะของเหลว
5. รูพรุน (Porosity) โครงสร้างที่เป็นรูพรุนมักเกิดจากน้ำโลหะสกปรกมีออกไซด์เข้าไปในชิ้นงาน ทำให้ชิ้นงานมีความทนต่อแรงกระแทกและความล้าลดลง
6. โคลด์ชัท (Cold Shut) เนื้อโลหะไม่ประสานกันขนาดใหญ่ มีขนาด 1-2 มิลลิเมตร เกิดจากน้ำโลหะที่ฉีดเข้าไปในแม่พิมพ์แยกตัวออกจากกันเมื่อมารวมกันไม่สามารถรวมเป็นเนื้อเดียว

เนื่องจากสูญเสียความร้อน ความดันและความเร็วลดน้อยลงทำให้เกิดเป็นออกไซด์ฟิล์มชั้น ทำให้อเนื่อไม่ประสานกัน

7. โฟลว์ไลน์ (Flow Line) เนื่อโลหะไม่ประสานกันขนาดเล็ก มีขนาด 10-100 ไมโครเมตร มองเห็นเป็นเส้น มีสาเหตุเดียวกับโคลด์ชัตแต่มีขนาดเล็กกว่า เกิดที่ผิวเนื่องจากอุณหภูมิของแม่พิมพ์น้อยเกินไป

8. จุดแข็ง (Hard Spot) เกิดจากส่วนผสมที่เป็นอัลลอยไม่ผสมกับอะลูมิเนียมเหลว ทำให้เกิดเป็นจุดแข็งขึ้น ซึ่งนำไปจนถึงได้ยาก

### 2.5.3 ปัจจัยของการฉีดที่ต้องพิจารณา (H.H. Doehler, 1951:140-144)

#### 1. อัตราการแพร่ความร้อนและความร้อนจำเพาะของอัลลอย

พิจารณาเพื่อนำมาเป็นข้อมูลในการกำหนดอัตราการฉีด และรอบเวลาการทำงานเช่น อะลูมิเนียมมีอัตราการแพร่ความร้อน 16.9 Btu/cu in ส่วนตั้งกะสี 10.6 Btu/cu in ทำให้สามารถฉีดตั้งกะสีได้เร็วกว่าอะลูมิเนียม 1.6 เท่า

#### 2. การนำความร้อนของอัลลอย

โดยพิจารณาที่ค่าปัจจัยการนำความร้อน (Conductivity Factor) เช่น อัลลอย A9 มีค่าปัจจัยการนำความร้อน 0.37 ส่วนอัลลอย XXIII มี 0.27 นั่นคือ A9 สามารถฉีดได้เร็วกว่า XXIII 1.37 เท่า

#### 3. อุณหภูมิการแข็งตัวของอัลลอย

เพื่อนำไปกำหนดอุณหภูมิการฉีดและรอบเวลาการทำงานเพื่อไม่ให้ให้น้ำโลหะแข็งตัวก่อนและไม่ให้ต้องเสียเวลาคอยการแข็งตัวนานเกินไป

#### 4. อุณหภูมิแม่พิมพ์

ในอะลูมิเนียมอัลลอย อุณหภูมิแม่พิมพ์ควรอยู่ในช่วง 218-315 องศาเซลเซียส ซึ่งคุณสมบัติทางกลต่างๆเช่น ความแข็งแรงทางดึง โครงสร้างจุลภาค ถ้วนได้รับอิทธิพลจากอุณหภูมิแม่พิมพ์ทั้งสิ้น ซึ่งอุณหภูมิของแม่พิมพ์ควรรักษาไว้มีค่าที่คงที่ที่ดีที่สุด

#### 5. การนำความร้อนของแม่พิมพ์

การนำความร้อนของแม่พิมพ์นั้นขึ้นกับขนาดของชิ้นงานและการออกแบบแม่พิมพ์ทั้ง 2 ส่วน ในสภาวะการทำงาน สิ่งที่มีผลคือ การหล่อที่ผิวหน้าแม่พิมพ์ ซึ่งจะสร้างเป็นชั้นบางๆอยู่บนผิวแม่พิมพ์

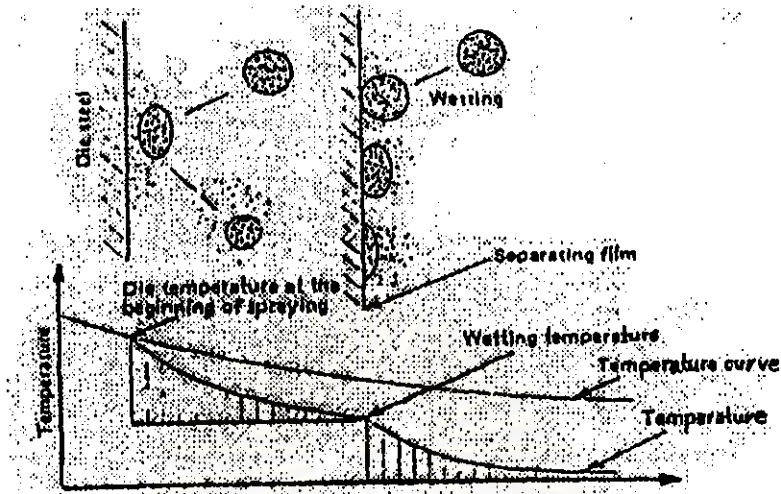
#### 6. การออกแบบชิ้นงาน

การออกแบบชิ้นงานมีส่วนอย่างมากที่จะมีผลให้การฉีดทำได้ง่ายหรือยาก เช่น การให้ความต่อเนื่องในส่วนที่มีความหนามากกับความหนาน้อย การใช้โครงกระดูก (Bone หรือ Rib) เป็นตัวช่วยในการไหลของน้ำโลหะ

ในข้อที่ 4 นั้น Harod J. Smith และ ASM Committe (1972:305) ได้กล่าวไว้ว่า อุณหภูมิใน แต่ละส่วนความหนาต้องมีความสมดุลกัน ซึ่งกระบวนการฉีดนั้นเป็นกระบวนการต่อเนื่อง อุณหภูมิแม่พิมพ์ขึ้นอยู่กับ อุณหภูมิน้ำอะลูมิเนียม น้ำหนักของน้ำอะลูมิเนียมในการฉีดแต่ละครั้ง ความเร็วรอบ พื้นที่ผิว รูปร่างของชิ้นงาน และการหล่อเย็นของแม่พิมพ์ อุณหภูมิที่เหมาะสมนั้น เมื่อทำการฉีดจนได้แล้ว ให้พยายามรักษาไว้ให้อยู่ภายในช่วง  $\pm 10^{\circ}\text{F} (\pm 6^{\circ}\text{C})$  ถ้าอุณหภูมิต่ำเกินไป งานที่ได้จะไม่เต็มแบบ หรือเกิดข้อบกพร่องขึ้นเช่น รูพรุน โพทวิโตน หรือ โครดซ์ซิด เนื่องจากใน โอเวอร์โฟลว์(Over flow) นั้นน้ำอะลูมิเนียมไหลเข้าไม่ถึง ถ้าอุณหภูมิสูงเกินไป จะมีความร้อน สะสมทำให้อายุของแม่พิมพ์ต่ำลง และจะมีอะลูมิเนียมเข้าไปหลอมติดกับแม่พิมพ์ ทำให้เกิดรอย ครุดที่ชิ้นงานขณะดันชิ้นงานออก

ในข้อที่ 5 นั้นการหล่อเย็นที่ผิวหน้าแม่พิมพ์มีความสำคัญมาก A.B. Schmidt (1981:622-632) ได้รายงานว่ น้ำหล่อเย็นหน้าแม่พิมพ์เมื่อปกคลุมที่ผิวหน้าแม่พิมพ์จะทำหน้าที่ช่วยการไหล ของน้ำโลหะและช่วยทำให้น้ำโลหะไม่หลอมติดกับแม่พิมพ์ ทำให้แกะชิ้นงานออกจากแม่พิมพ์ได้ ง่าย โดยเฉพาะอย่างยิ่งส่วนแม่พิมพ์ที่เคลื่อนที่ (moving die) เช่น สไลด์(silde) แกน(core) และเข็ม กระทุ้ง(ejector pin) ต้องหล่อเย็นเพื่อป้องกันการติดของน้ำโลหะและการเสียดสี เมื่อพ่นน้ำหล่อเย็น ไปยังหน้าแม่พิมพ์ที่ร้อน จะมีการเปลี่ยนแปลงทางด้านกายภาพและเคมี ระบบจะเข้าสู่สภาวะ สมดุลใหม่ขึ้นอยู่กับน้ำหนักโมเลกุลของสารประกอบในน้ำหล่อเย็น ซึ่งความดันไอจะเปลี่ยนเมื่อ น้ำหล่อเย็นกลายเป็นไอ น้ำหล่อเย็นประกอบด้วยสารละลายที่จะระเหยด้วยความดันไอที่สูง เพื่อที่ จะกลายเป็นไอได้ทันทีเมื่ออยู่บนผิวของแม่พิมพ์ที่ร้อน ระดับของการเย็นของแม่พิมพ์ขึ้นอยู่กับ ความร้อนแฝงของการกลายเป็นไอของของเหลวตัวกลางซึ่งคุณสมบัตินี้เอง น้ำมีคุณสมบัติที่เหมาะสมที่สุด ดังนั้นน้ำหล่อเย็นจะใช้แบบที่มีน้ำเป็นส่วนผสมหลักจะดีที่สุด ในรูปที่ 2.14 แสดงเส้นของ อุณหภูมิของแม่พิมพ์ในการฉีดน้ำหล่อเย็นหน้าแม่พิมพ์ โดยน้ำหล่อเย็นเป็นแบบที่มีน้ำเป็นส่วน ผสมหลัก

สถาบันวิทยบริการ  
จุฬาลงกรณ์มหาวิทยาลัย



รูปที่ 2.14 รูปแสดงอุณหภูมิของแม่พิมพ์ในการฉีดน้ำหล่อตื้นหน้าแม่พิมพ์ โดยน้ำหล่อตื้นเป็นแบบที่มีน้ำเป็นส่วนผสมหลัก (Alan Kaye และ Authur Street (1983:221))

#### 2.5.4 การหล่อตื้นหน้าแม่พิมพ์ (Alan Kaye และ Athur Street, 1983:163)

##### 2.5.4.1 กฎของการหล่อตื้นหน้าแม่พิมพ์

การหล่อตื้นหน้าแม่พิมพ์มีหลักในการทำงานดังนี้

1. ปริมาณที่ใช้ต้องพอเหมาะ ถ้าใช้มากเกินไปจะเป็นการเพิ่มข้อบกพร่องให้แก่ชิ้นงาน เช่น ไฟตวี่โกน โคลด์ชัต ที่ผิวชิ้นงาน หรือ รุพรูนภายในชิ้นงานเนื่องจากน้ำหรือน้ำมันที่เป็นส่วนประกอบของน้ำหล่อตื้น เมื่อสัมผัสกับน้ำอะลูมิเนียมจะระเหยกลายเป็นก๊าซทำให้คงค้างอยู่ในชิ้นงาน หากหนีออกมาไม่ทันจะเกิดเป็นรูพรุนขึ้น ทำให้ชิ้นงานขาดความแข็งแรง
2. อย่าใช้น้ำมัน ตัวทำละลาย หรือของเหลว ที่มีจุดวาบไฟต่ำ
3. ห้ามใช้ตัวทำละลาย เช่น คาร์บอนเตตระคลอไรด์ (CCI<sub>4</sub>) หรือสารประกอบไฮโดรคาร์บอนต่างๆที่สามารถระเหยเป็นพิษได้
4. ห้ามใช้น้ำมันพืชหรือน้ำมันสัตว์
5. ห้ามใช้สารละลายเกลือออลอน เช่น เกลือโบรไมด์ และคลอไรด์ เพราะจะทำลายผิวหน้าแม่พิมพ์ ทำให้แม่พิมพ์ผุกร่อนเร็ว
6. ก่อนใช้สารหล่อตื้นใดๆควรตรวจสอบก่อนว่า ทำลายโลหะ(แม่พิมพ์ เป็นพิษ และเป็นอันตรายหรือไม่

### 2.5.4.2 คุณสมบัติของน้ำหล่อถิ่นหน้าแม่พิมพ์ที่ควรจะเป็น

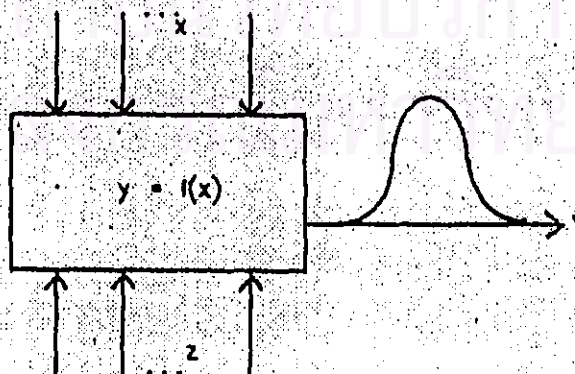
น้ำหล่อถิ่นหน้าแม่พิมพ์ ควรมีคุณสมบัติดังนี้

1. ใช้ได้ทั้งกับวัสดุที่ทำแม่พิมพ์ และส่วนประกอบอื่นๆ โดยไม่ก่อความเสียหาย เช่น การผุกร่อน หรือสึกกร่อน
2. สร้างฟิล์มบางๆบนผิวของแม่พิมพ์ที่ติดแน่น เพื่อป้องกันการหลอมติดของน้ำอะลูมิเนียม
3. กระจายตัวได้กว้างและสม่ำเสมอบนผิวแม่พิมพ์
4. ไม่ทำให้คุณภาพผิวชิ้นงานด้อยลง เช่น เกิดโพธิ์โกลน์ เป็นรอยค่างดำ เป็นต้น
5. ไม่ทำลายผิวหน้าแม่พิมพ์ ในน้ำหล่อถิ่นบางชนิดที่เป็นน้ำมันจะประกอบด้วยกรดไขมัน เมื่ออุณหภูมิสูงมากกรดไขมันเหล่านี้จะเปลี่ยนไปอยู่ในรูปกรดฟอร์มิกหรือ กรดอะซิติกซึ่งทำลายผิวหน้าแม่พิมพ์ได้
6. ไม่ระเหยง่ายและไม่เกิดเป็นก๊าซพิษ ซึ่งเป็นอันตรายต่อผู้ปฏิบัติงาน
7. ไม่ข้นแข็ง หรือจับตัวที่มุม หรือผิวหน้าแม่พิมพ์
8. ราคาต้องสมเหตุสมผล เพราะราคาจะเป็นตัวพิจารณาที่สำคัญในการประกอบธุรกิจ

## 2.6 การออกแบบและวิเคราะห์การทดลอง

### 2.6.1 การออกแบบการทดลอง (Experiment Design)

การออกแบบการทดลองเป็นการออกแบบการทดลองเพื่อการศึกษาปัจจัยที่มีอยู่ในกระบวนการผลิตว่าปัจจัยตัวใดมีผลต่อสิ่งที่เราสนใจหรือให้ความสำคัญ ซึ่งในกระบวนการผลิตนั้นจะมีปัจจัยที่เกี่ยวข้องดังแสดงได้ดังรูปที่ 2.15 ซึ่ง  $x$  หมายถึงปัจจัยที่สามารถควบคุมได้ และ  $z$  หมายถึงปัจจัยที่ไม่สามารถควบคุมได้



รูปที่ 2.15 แสดงปัจจัย และพารามิเตอร์ของกระบวนการ

ปัจจัย (Factor) ที่เกิดในกระบวนการผลิตสามารถแบ่งได้เป็น 2 ประเภทคือ

- 1) ปัจจัยที่สามารถควบคุมได้ (controllable factor)
- 2) ปัจจัยที่ไม่สามารถควบคุมได้ (uncontrollable factor)

### 2.6.2 วัตถุประสงค์ในการออกแบบการทดลอง

2.6.2.1 เพื่อตรวจสอบว่าปัจจัยตัวใดมีผลต่อสิ่งที่เราสนใจ

2.6.2.2 เพื่อหาค่าที่เหมาะสมของปัจจัยที่ทำให้สิ่งที่เราสนใจ ใกล้เคียงค่าที่ต้องการมากที่สุด

2.6.2.3 เพื่อหาค่าที่เหมาะสมของปัจจัยที่ทำให้ความแตกต่างของสิ่งที่เราสนใจ เล็กที่สุด

2.6.2.4 เพื่อหาค่าที่เหมาะสมของปัจจัยที่ทำให้ผลของปัจจัยที่ควบคุมไม่ได้มีค่าน้อยที่สุด

### 2.6.3 แนวทางในการออกแบบการทดลอง

2.6.3.1 การตั้งปัญหา การกำหนดปัญหาว่าจะศึกษาอะไรในกระบวนการทดลอง ซึ่งการกำหนดนี้จะขึ้นกับวัตถุประสงค์ของการทดลอง

2.6.3.2 เลือกตัวแปรตาม (Response Variable) จะต้องเลือกตัวแปรตามที่แน่ใจว่าจะให้ข่าวสารข้อมูลที่เป็นประโยชน์ต่อการศึกษา

2.6.3.3 การเลือกปัจจัยที่มีผล และระดับของปัจจัยซึ่งระดับของปัจจัยที่ใช้แบ่งได้เป็น

1) แบบกำหนด (fixed levels) หมายถึงระดับของปัจจัยที่สามารถควบคุมได้หรือกำหนดค่าได้แน่นอน

2) แบบสุ่ม (random levels) หมายถึงระดับของปัจจัยที่ไม่สามารถควบคุมได้ หรือไม่สามารถกำหนดค่าของปัจจัยได้แน่นอน

3) แบบผสม (mixed levels) หมายถึง การผสมระหว่างปัจจัยที่เป็นทั้งแบบกำหนดค่าได้และกำหนดไม่ได้

2.6.3.4 การเลือกแบบการทดลอง ต้องเลือกแบบการทดลองที่ให้ข้อมูลที่ถูกต้อง

2.6.3.5 ทำการทดลอง โดยทำตามที่กำหนดไว้

2.6.3.6 การวิเคราะห์ข้อมูล จะให้ความรู้ทางด้านสถิติมาวิเคราะห์และสรุปผล

2.6.3.7 สรุปผลและข้อเสนอแนะ เมื่อทำการวิเคราะห์ข้อมูลแล้ว จะต้องสรุปผลของการวิเคราะห์ซึ่งอาจแสดงในรูปกราฟ, ตารางหรือแผนภูมิ

### 2.6.4 หลักในการเก็บข้อมูล

ข้อมูลที่ได้จากการทดลองหรือกระบวนการจะมีค่าไม่คงที่ซึ่งมีผลมาจาก กระบวนการผลิต การวัด การสุ่มตัวอย่าง ดังนั้นจึงต้องมีการเฉลี่ย ซึ่งการเฉลี่ยในที่นี้หมายถึง การเฉลี่ยของผลของปัจจัยที่ควบคุมไม่ได้เพราะข้อมูลที่ออกมาควรจะอยู่ในรูปของค่าที่ถูกต้องซึ่งข้อมูลที่วิเคราะห์จะต้องไม่มีความผิดพลาดเกิดขึ้นหรือน้อยที่สุด และการที่จะได้มาซึ่งข้อมูลที่ถูกต้องนั้นจะต้องทำ 3 อย่างคือ

1. จะต้องเก็บข้อมูลอย่างสุ่ม (randomization)
2. มีการทำซ้ำ (replication) เป็นการทำการกำจัดผลของปัจจัยที่ควบคุมไม่ได้ ออก
3. การทำ blocking เป็นการทำการเพื่อลดการกระจายของข้อมูลแต่ไม่จำเป็นจะต้องทำเสมอไป

### 2.6.5 การวิเคราะห์ข้อมูล

เป็นการวิเคราะห์ว่าออกแบบการทดลองมีความเหมาะสมเพียงไรนั่นคือในการทดลองจะเกิด  $c_p$  ทุกครั้ง การทดลองที่ดีจึงต้องมี  $c_p$  น้อยที่สุด

วิธีการตรวจสอบว่าการทดลองมีความเหมาะสมเพียงไรคือ

#### 2.6.5.1 การตรวจสอบความถูกต้องของรูปแบบ (Model Adequacy Checking)

การตรวจสอบจะตรวจสอบว่า  $c_p$  มีการกระจายแบบปกติหรือไม่โดยมีวิธีการตรวจสอบดังนี้

1. การตรวจสอบว่า  $c_p$  มีการกระจายแบบปกติหรือไม่โดยใช้
  - 1.1 NOPP (normal paper)
  - 1.2 Kolgomorov - Smirnov test
  - 1.3  $\chi^2$  - goodness of fit test
2. การตรวจสอบความเป็นอิสระ (independent) โดยใช้แผนภูมิการกระจาย
3. การตรวจสอบความสม่ำเสมอของการแปรปรวน (variance stability)

โดยใช้แผนภูมิการกระจายซึ่งถ้ารูปไม่เป็น megaphone ถือว่าข้อมูลถูกต้อง

#### 2.6.5.2 $R^2$ TEST

$$R^2 = \frac{\text{[explained variation/ total variation]} * 100}{\dots} \dots(2.1)$$

ซึ่งถ้าค่า  $R^2$  ออกมาค่าสามารถแก้ไขได้โดย

1. เพิ่มจำนวนทำซ้ำในการทดลอง
2. ตรวจสอบว่ามีปัจจัยอื่นที่เกี่ยวข้องหรือไม่แล้วออกแบบการทดลองใหม่
3. ถ้าเพิ่มจำนวนทำซ้ำแล้ว ค่า  $R^2$  ยังต่ำอยู่ ควรจะทำการ blocking เพื่อลดค่าความผิดพลาดที่เกิดขึ้น

### 2.6.6 การตั้งสมมติฐานในการตรวจสอบ (Hypothesis Testing)

ในการทดลองจะต้องมีการตั้งสมมติฐานและตรวจสอบสมมติฐานว่าปัจจัยที่เราศึกษามีผลต่อกระบวนการจริงหรือไม่ซึ่งรูปแบบการตั้งสมมติฐานมีดังนี้

1. กรณี Fixed Model

$H_0$  : factor ไม่มีผลต่อกระบวนการผลิต

$H_1$  : factor มีผลต่อกระบวนการผลิต

หรือเขียนในรูปสัญลักษณ์ เมื่อ  $\tau$  คือ ค่าเฉลี่ยของทรินเมนต์

$H_1$  :  $\tau_1 = \tau_2 = \dots = \tau_r = 0$

$H_0$  :  $\tau \neq 0$

2. กรณี RANDOM MODEL จะเป็นการตรวจสอบว่าความแปรปรวนมีค่าเท่ากับ

ศูนย์หรือไม่

$H_0$  :  $\sigma^2 = 0$

$H_1$  :  $\sigma^2 \neq 0$

ทั้งในการตั้งสมมติฐานจะอยู่ภายใต้ความเสี่ยง 2 ตัว คือ  $\alpha$  และ  $\beta$  โดย

$\alpha$  หมายถึง ความเสี่ยงในการ ไม่ยอมรับสมมติฐาน ทั้งที่สมมติฐานเป็นจริง

$\beta$  หมายถึง ความเสี่ยงในการยอมรับสมมติฐาน ทั้งที่สมมติฐานไม่เป็นจริง

ซึ่งค่าความเสี่ยง 2 ตัวนี้ทำให้ต้องมีการทำซ้ำ เพื่อให้ข้อมูลมีความถูกต้องมากขึ้นภายใต้ ความเสี่ยงที่เรากำหนด

### 2.6.7 การหาจำนวนซ้ำในการทดลอง (Choice Of Sample Size)

คือ จำนวนตัวอย่างที่จะทำการทดลองเพื่อทำซ้ำ ซึ่งสามารถหาได้โดยเปิดจากเส้นโค้งไอซี (Operating Characteristic Curve) ซึ่งจะแบ่งตามรูปแบบการทดลอง กล่าวคือ

1. Fixed Effect Model ซึ่งในกรณีนี้พารามิเตอร์ที่เราสนใจคือ  $\phi$  ซึ่ง

$$\phi^2 = n \sum_{i=1}^a \tau_i^2 \quad \text{สำหรับ Single Factor} \quad \dots(2.2)$$

$$\phi^2_{\Lambda} = b n \sum_{i=1}^a \tau_i^2 \quad \text{สำหรับ Double Factor} \quad \dots(2.3)$$

$$\phi^2_{\Lambda B} = bc \dots n \sum_{i=1}^a \tau_i^2 / a \sigma^2 \quad \text{สำหรับ Multiple Factor} \quad \dots(2.4)$$



$$\phi_{AB}^2 = \frac{n \sum_{i=1}^a \sum_{j=1}^b (\tau\beta)_{ij}^2}{\sigma^2[(a-1)(b-1)-1]} \quad \text{สำหรับ Interaction} \quad \dots(2.5)$$

2. Random Effect Model ซึ่งพารามิเตอร์ที่สนใจ คือ  $\lambda$  โดย

$$\lambda = \sqrt{1 + \frac{n\sigma_r^2}{\sigma^2}} \quad \text{สำหรับ Single Factor} \quad \dots(2.6)$$

$$\lambda_A = \sqrt{1 + \frac{bn\sigma_r^2}{\sigma^2 + n\sigma_{rp}^2}} \quad \text{สำหรับ Double Factor} \quad \dots(2.7)$$

$$\lambda_{AB} = \sqrt{1 + \frac{n\sigma_{rp}^2}{\sigma^2}} \quad \text{สำหรับ Interaction} \quad \dots(2.8)$$

### 3. Mixed Model

ซึ่งเนื้อหาทั้งหมดดูจาก Montgomery (1991) หัวข้อ 7.3.5 และ 7.4.3

#### 2.6.8 การวิเคราะห์ความแปรปรวน (Analysis OF Valiance) หรือ ANOVA

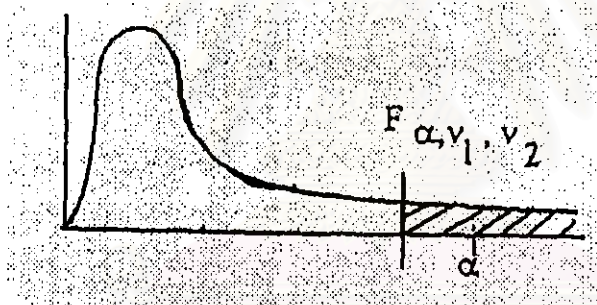
หลักการทำ ANOVA เป็นการใช้ความแปรปรวนมาวิเคราะห์ซึ่ง R.A. Fisher ได้ทำการวิเคราะห์ที่ความแตกต่าง โดยวัดความแตกต่างรวมออกมาในรูปของค่าความแปรปรวนแล้วแปรเป็นความแตกต่างย่อย จากนั้นนำความแตกต่างย่อยนั้นมาเปรียบเทียบถ้าความแตกต่างใดมีค่ามาก แสดงว่าปัจจัยตัวนั้นมีผล ข้อดีของการใช้ ANOVA เป็นการแก้ปัญหาการเฟ้อของ  $\alpha$  (inflated risk) ดูตัวอย่างตาราง ANOVA ดังตารางที่ 2.4

สถาบันวิทยบริการ  
จุฬาลงกรณ์มหาวิทยาลัย

ตารางที่ 2.4 ตารางแสดงตัวอย่างตาราง ANOVA

Source of Variation	Sum of Squares	Degrees of Freedom	Mean Square	F <sub>o</sub>
A	$\sum_{i=1}^a (y_{i.}^2 / bn) - (y_{...}^2 / abn)$	a-1	MS <sub>A</sub>	MS <sub>A</sub> /MS <sub>E</sub>
B	$\sum_{j=1}^b (y_{.j}^2 / an) - (y_{...}^2 / abn)$	b-1	MS <sub>B</sub>	MS <sub>B</sub> /MS <sub>E</sub>
AxB	$\sum_{i=1}^a \sum_{j=1}^b (y_{ij}^2 / n) - (y_{...}^2 / abn) - SS_A - SS_B$	(a-1)(b-1)	MS <sub>AB</sub>	MS <sub>AB</sub> /MS <sub>E</sub>
Error	SS <sub>Total</sub> - SS <sub>A</sub> - SS <sub>B</sub> - SS <sub>AxB</sub>	(abn-1)-(a+1)-(b+1)-(a-1)(b-1)	MS <sub>E</sub>	
Total	$\sum_{i=1}^a \sum_{j=1}^b \sum_{k=1}^n y_{ijk}^2 - (y_{...}^2 / abn)$	abn-1		

ซึ่งหลักเกณฑ์ในการพิจารณาว่าปัจจัยตัวใดมีผลต่อกระบวนการนั้น คือที่ F<sub>o</sub> ว่าตกอยู่ในพื้นที่แรงแทงหรือไม่ หากตกอยู่ในพื้นที่แรงแทงแสดงว่าปัจจัยตัวนั้นมีผล ดังแสดงในรูปที่ 2.16



รูปที่ 2.16 รูปแสดงการกระจายของฟิชเชอร์ (Fisher)

### 2.6.9 รูปแบบการทดลอง

ในกรณี Single Factor มีรูปแบบการทดลอง

1. Complete Randomized Design (CRD) เหมาะที่จะใช้กับ Uncontrollable Factor ที่มีขนาดไม่โตนัก และไม่มี noise factor การทดลองจะยึดหลักการท่าแบบสุ่ม และการทำซ้ำ
2. Randomized Block Design (RBD) ต้องมีการท่าสุ่มทุกครั้ง ทำซ้ำทุกการทดลองและมีการท่าบล็อก (blocking)
3. Latin Square Design (LSD)

ในกรณีที่ เป็น Multi Factor มีรูปแบบการทดลอง

1. General Factorial ซึ่งใช้กับการทดลองที่มี 2 ปัจจัยขึ้นไป จึงทำให้เกิดผลของอิทธิพลร่วม (interaction effect) และอิทธิพลหลัก (main effect) ซึ่งอิทธิพลของปัจจัยร่วมคือผลที่เกิดขึ้นจากการที่ปัจจัยหนึ่งเปลี่ยนไปแล้วทำให้อิทธิพล (effect) ของอีกปัจจัยหนึ่งเปลี่ยนแปลงด้วย

## 2. Fractional Factorial Design

### 2.6.10 %R&R (Repeatability and Reproducibility)

ในการวัดค่าแต่ละครั้งนั้นจะเกิดความแตกต่างขึ้นเสมอ ซึ่งสาเหตุที่สำคัญที่เป็นเช่นนั้น มีอยู่ 3 สาเหตุด้วยกันคือ

- 1) ความผันแปรของกระบวนการ (process variation)
- 2) ระบบการวัด (measurement system)
- 3) ขนาดของข้อมูลตัวอย่าง (sample size) และความถี่ หรืออาจบอกได้ว่า

$$\sigma_{\text{total}}^2 = \sigma_{\text{product}}^2 + \sigma_{\text{mfg}}^2 \quad \dots(2.9)$$

ซึ่งในการเก็บข้อมูลนั้น หากเราทำให้ความผิดพลาดจากระบบการวัดมีน้อยที่สุดก็จะให้เรามีความเชื่อมั่นในการที่จะได้ข้อมูลที่ถูกต้องมากขึ้น ความแตกต่างจากระบบการวัดนี้มีสาเหตุมาจาก

- 1) การวัดต่างตำแหน่งกัน
- 2) ผู้ตรวจสอบเอง
- 3) เครื่องมือวัด ซึ่งคุณสมบัติของเครื่องมือวัดที่เราต้องการคือ

-ความแม่นยำ (precision) ซึ่งหมายถึง ความสม่ำเสมอในการวัดซ้ำ ซึ่งโดยปกติจะแสดงถึงองศาความอิสระ (degree of freedom) จากค่าความคลาดเคลื่อนของเครื่องมือวัด

-ความถูกต้อง (accuracy) เป็นขอบเขตของค่าเฉลี่ยในการวัดจากค่าจริงซึ่งมักระบุเป็นค่าร้อยละของค่า Full Scale ของค่าที่อ่านได้จากเครื่องมือวัด

-ความมีเสถียร (stability)

-คุณสมบัติเชิงเส้นตรง (linearity) คือรูปแบบความสัมพันธ์เชิงเส้นตรงของปริมาณที่วัดกับค่าที่วัดได้

ความแตกต่างจากการวัดนั้นเราสามารถลดความแตกต่างภายในหน่วยวัดได้ โดยการกำหนดจุดวัด แต่เราไม่สามารถลดความแตกต่างจากผู้ตรวจสอบและความแตกต่างที่เกิดจากเครื่องมือวัดได้

การหาประสิทธิภาพของการวัดนั้น หาได้จาก %R&R (percent of Repeatability and Reproducibility)

- Repeatability คือความสม่ำเสมอของค่าที่วัดได้จากการวัดในช่วงสั้นๆ ภายใต้เงื่อนไขการวัดเดียวกัน อุปกรณ์เดียวกัน พนักงานคนเดียวกัน และวัดในตำแหน่งเดียวกัน

- Reproducibility คือความสม่ำเสมอของค่าที่วัดได้จากการเปลี่ยนแปลงเงื่อนไขการวัด คือวิธีการวัด พนักงานวัด

ซึ่ง %R&R สามารถหาได้จาก

$$\%R\&R = \text{Capability} / \text{Spec Tolerance} \quad \dots (2.10)$$

โดยค่า Capability ที่นิยมใช้กันมีอยู่ 3 ค่า คือ 5.15, 6, 4

ดังนั้น

$$\%R\&R = (5.15 \sigma_{R\&R} / \text{USL-LSL})100$$

โดย USL = ขั้วจำกัดบน (Upper Specification Limit)

LSL = ขั้วจำกัดล่าง (Lower Specification Limit)

$$\sigma_{R\&R} = \sqrt{\sigma_{\text{repeatability}}^2 + \sigma_{\text{reproducibility}}^2}$$

$$\sigma_{\text{reproducibility}} = R(\bar{x})/d2 \quad \dots (2.11)$$

$$\sigma_{\text{repeatability}} = R(x)/d2 \quad \dots (2.12)$$

สรุปว่า ถ้า %R&R  $\leq$  10% ถือได้ดีเลิศ

10% < %R&R  $\leq$  30% ถือว่ายอมรับได้

%R&R > 30% ถือว่าไม่ยอมรับ

หากค่า %R&R ออกมาไม่ยอมรับ ต้องหาสาเหตุทีละตัว

$$\%repeatability = (5.15 \sigma_{\text{repeatability}} / \text{USL-LSL}) 100\%$$

$$\%reproducibility = (5.15 \sigma_{\text{reproducibility}} / \text{USL-LSL}) 100\%$$

หากตัวไหนออกมาก็แสดงว่าตัวนั้นทำให้เกิดความแตกต่างจากการวัดมากซึ่งมีวิธีการแก้ไข

โดยถ้า %Repeatability มาก

1) ให้วัดซ้ำมากขึ้น

2) ให้ใช้เครื่องมือที่มีความแม่นยำกว่านี้

หาก %Reproducibility มากแก้ไขโดยฝึกอบรมการวัดใหม่

